

高次 三角形 有限要素에 依한 矩形断面의 温度分布와 热傳達

Temperature Distribution & Heat Transfer of Rectangular Cross Section by the Higher-order Triangular Finite Element Method

龍 鎬 澤^{*} · 徐 廷 一^{**} · 趙 珍 鑫^{**}

Abstract

This paper is studied an efficient temperature distribution and heat transfer of two-dimensional rectangular cross-section by the higher-order triangular finite dynamic element and finite difference.

This is achieved by employing a discretization technique based on a recently developed concept of finite dynamic elements^{[1][2]}, involving higher order dynamic correction terms in the associated stiffness and convection matrices.

Numerical solution results of temperature distribution presented herein clearly optimum element and show that FEM10 is the most accurate temperature distribution, but heat transfer and computational effort is the most acquired.

Nomenclature

B : Biot number	capacity)
E : total element	[] : square matrix
f : force vector	$\langle \rangle$: column matrix
g' : heat generation	[] : row matrix
h : heat transfer coefficient	Σ : summation
I : function to be minimized	Superscript
k : thermal conductivity	(e) : element
K : stiffness matrix	T : Transpose
l : length of an element	Subscript
L : length of rectangular cross section	c : conduction
n : direction cosine of the outward normal vector.	h : convection
N : shape function	i, j : position vector
s : surface	x, y, z : direction
t : time	∞ : condition in the surrounding
T : temperature	I. 序 論
V : volume	本研究는 B. Fraeijs de Veubeke & P. Silvester 가研究한 6節點, 10節點 三角形 有限要素
ρc : heat capacity (density \times specific heat	

* 한양대학교 대학원

** 한양대학교

法과 差分法을 使用하여 矩形斷面의 温度分布와 傳熱量을 求하여 正確解와 比較 檢討한 것이다.

高次 三角形 有限要素을 使用하여 温度分布를 求함에 있어서 最近에 K. K. Gupta⁽¹⁾⁽²⁾ 가 研究한 有限動要素를 移用하였고, 研究를 遂行함에 있어서 解析의 簡便化와 正確性等을 考慮하여 境界條件은 一定 温度와 對流만 있는 2次元 定常 狀態를 생각하였다.

實際 問題에 適用할 수 있게 하기 위하여 25 個의 Biot 數에 對한 解를 求하여 正確解와의 比較를 通하여 最適 要素와 計算 時間이 가장 적게 걸리는 正確한 數值解法을 찾는 것에 目的을 두고 있다.

II. Galerkin 法에 依한 有限要素

2-1 热傳導 方程式

$$\frac{\partial}{\partial x} \left(k_x \frac{\partial T}{\partial x} \right) + \frac{\partial}{\partial y} \left(k_y \frac{\partial T}{\partial y} \right) + \frac{\partial}{\partial z} \left(k_z \frac{\partial T}{\partial z} \right) + g' (x, y, z) = \rho c \frac{\partial T}{\partial t} \quad (1)$$

任意의 區域 c_1, c_2 에서의 境界條件은

$$T = T(x, y, z); c_1 \quad (2)$$

$$k_x \frac{\partial T}{\partial x} n_x + k_y \frac{\partial T}{\partial y} n_y + k_z \frac{\partial T}{\partial z} n_z + q_c + h(T - T_\infty) = 0; c_2 \quad (3)$$

여기서 q_c , $h(T - T_\infty)$ 는 각各 境界에서의 傳導와 對流에 依한 热損失을 表示한다.

2-2 汎函数와 最小值

方程式(1)의 最小值⁽³⁾⁽⁴⁾는

$$I(T) = \int_v \frac{1}{2} \left[k_x \left(\frac{\partial T}{\partial x} \right)^2 + k_y \left(\frac{\partial T}{\partial y} \right)^2 + k_z \left(\frac{\partial T}{\partial z} \right)^2 - 2 \left(g' - \rho c \frac{\partial T}{\partial t} \right) T \right] dv + \int_s \left[q_c T + \frac{1}{2} h(T - T_\infty)^2 \right] ds \quad (4)$$

任意의 物体를 無限히 많은 要素로 分割하면 式(4)는

$$I(T) = \sum_{e=1}^E \int_v \frac{1}{2} \left[[g^{(e)}]^T [D^{(e)}] [g^{(e)}] - 2T^{(e)} g'^{(e)} \right] dv$$

$$+ \sum_{e=1}^E \left[\int_v \rho c [N^{(e)}]^T [N^{(e)}] dv - \frac{\partial T}{\partial t} \right]$$

$$+ \int_s \frac{1}{2} h^{(e)} (T^{(e)} - T_\infty)^2 ds \quad (5)$$

$$\text{但, } [g^{(e)}]^T = \left(\frac{\partial T}{\partial x}, \frac{\partial T}{\partial y}, \frac{\partial T}{\partial z} \right)$$

$$[D^{(e)}] = \begin{bmatrix} k_x & 0 & 0 \\ 0 & k_y & 0 \\ 0 & 0 & k_z \end{bmatrix}$$

여기에 形狀函数를 導入하면

$T^{(e)} = [N^{(e)}] \langle T \rangle$ 로 되며, $T^{(e)}$ 의 微分값을 $\langle g^{(e)} \rangle$ 라 하면

$$\langle g^{(e)} \rangle = \begin{pmatrix} \frac{\partial T^{(e)}}{\partial x} \\ \frac{\partial T^{(e)}}{\partial y} \\ \frac{\partial T^{(e)}}{\partial z} \end{pmatrix} = \begin{pmatrix} \frac{\partial N_1}{\partial x} \frac{\partial N_2}{\partial x} \dots \frac{\partial N_n}{\partial x} \\ \frac{\partial N_1}{\partial y} \frac{\partial N_2}{\partial y} \dots \frac{\partial N_n}{\partial y} \\ \frac{\partial N_1}{\partial z} \frac{\partial N_2}{\partial z} \dots \frac{\partial N_n}{\partial z} \end{pmatrix} \begin{pmatrix} T_1 \\ T_2 \\ \vdots \\ T_n \end{pmatrix} = [B^{(e)}] \langle T \rangle \quad (6)$$

最小值를 求하기 위하여 式(6)을 式(5)에 代入하여 微分한 值을 零으로 令으면

$$([K_c^{(e)}] + [K_h^{(e)}]) \langle T \rangle + [C^{(e)}] \frac{\partial T}{\partial t} + \langle f^{(e)} \rangle = 0 \quad (7)$$

여기서

$$[K_c^{(e)}] + [K_h^{(e)}] = \int_v [B^{(e)}]^T [D^{(e)}] [B^{(e)}] dv$$

$$+ \int_s h [N^{(e)}]^T [N^{(e)}] ds$$

$$[C^{(e)}] = \int_v \rho c [N^{(e)}]^T [N^{(e)}] dv$$

$$\langle f^{(e)} \rangle = - \int_v g' [N^{(e)}]^T dv + \int_s q_c [N^{(e)}]^T ds - \int_s h T_\infty [N^{(e)}]^T ds$$

III. 数值 解析例

研究를 遂行함에 있어서 材質과 热傳導 係數는 一定하며, 各 要素 自体内에 热源이 없는 2次元 定常 狀態로 假定하면 方程式(7)은

$$([K] + [K_b]) \langle T \rangle = 0 \quad \dots \dots \dots \quad (8)$$

모 된다.

Fig. 3-1 과 같은 한 면은 一定 温度 t_0 , 두 면은 断然 되어 있고, 나머지 한 면에서 对流로 送暖 傳熱이 이루어지는 矩形断面 ($b = l$)에 式(8) 을 적용시킨다.

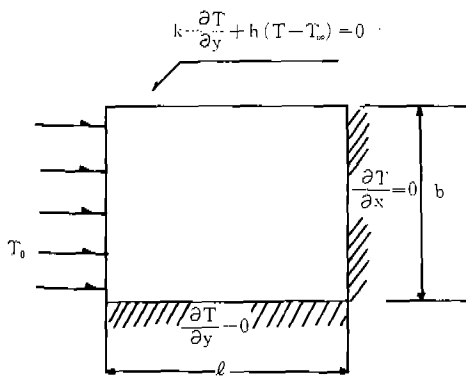


Fig. 3-1. Rectangular cross section.

Fig. 3-1과 같은 단면을 매수 (mesh) 1×1 , 2×2 , 3×3 , 4×4 , 5×5 , 6×6 로分割해서 節点이 각각 10, 6, 3인 三角形 要素(FEM10, FEM6, FEM3)와 差分法(FDM)에 对한 温度分布를 求한다.

IV. 比較 吻 檢計

4-1. 温度 分布

25個의 Biot 数에 对한 矩形断面의 温度分布를 求하여 平均 相对誤差와 mesh 의 크기 (要素의 数)에 对한 그림은 Fig. 4-1과 같다. Fig. 4-1에서 FEM10, FDM, FEM 6, FEM 3는 각각 매쉬 2×2 , 3×3 , 4×4 , 5×5 에서 平均相对誤差가 2 % 以下이므로 直四角形(가로 : 세로 = 2:1)과 같이 矩形断面도 FEM 3의 매쉬가 5×5 以上이어야 한다고 말한 T. Shuku & K. Ishihara⁽⁴⁾, D. H. Norrie & G. Devries⁽⁷⁾의 結果와 一致한다.

10 節점, 6 節점 삼각형 요소는 3 節점 요소로 9 個, 4 個의 요소로分割될 수 있으므로, 3 節

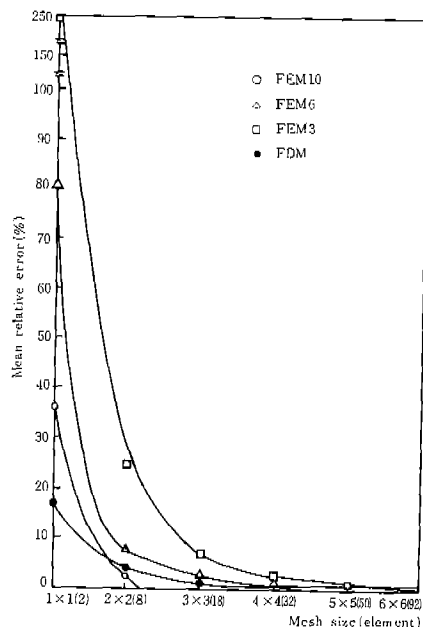


Fig. 4-1. Mean relative error for a plane triangular element[†]

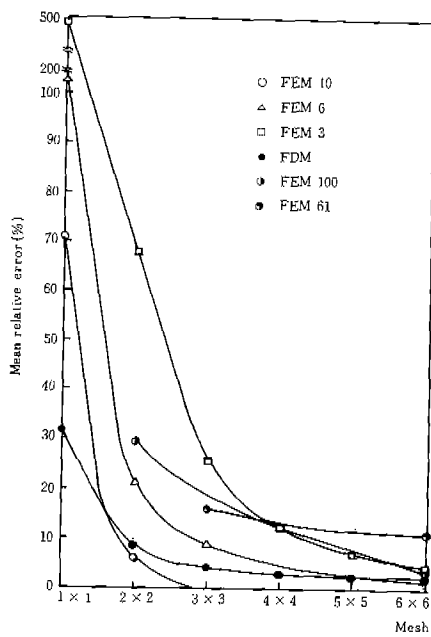


Fig. 4-2. Mean relative error of convection.

点要素와 같은 節點을 가진 10節点 要素(FEM 101)와 6 節点 要素(FEM 61)의 平均 相對誤差는 배수 6×6 에서 0.742%, 2.666%이었다.

Fig. 4-2는 对流 热傳達이 일어나고 있는 境界의 温度分布이다.

Fig. 4-1과 同一하게 FEM 10의 誤差가 배수 2×2 以上에서는 거의 零에 가까우며, 또한 FDM, FEM 101, FEM 61이 FEM 3 보다 優秀함을 보여 주고 있다.

4-2. 热傳達과 計算勞苦

4-2-1. 热傳達

Fig. 4-3은 각 배수에 对한 傳熱量의 平均相對誤差와의 関係이다.

Fig. 4-1과 같이 FEM 10이 가장 優秀하여 FE M6, FDM, FEM 3의 順으로 되어 있다.

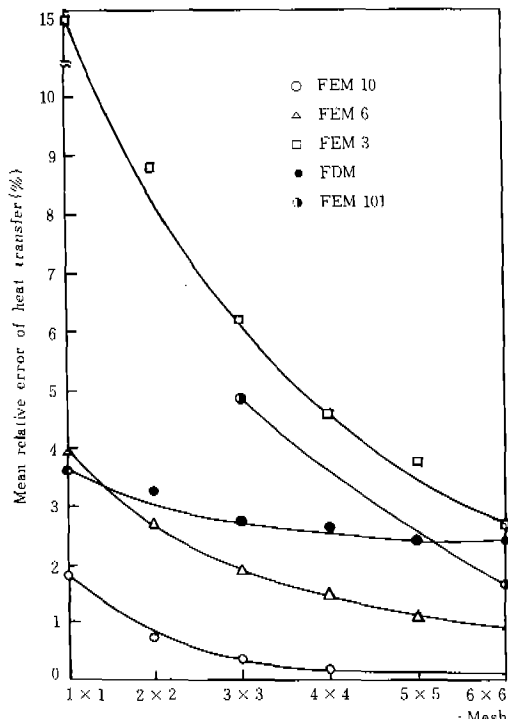


Fig. 4-3. Heat transfer for a triangular element.

温度分布에서 FEM 6 보다 좋았던 FDM이 배수가 커짐에 따라 FEM 6 보다 나빠짐을 알 수 있다.

Fig. 4-3 은 25個의 Biot 数(0.1~50)에 对한 것이며, Biot 数가 10以下(괄호안의 숫자)일 때는 Table 1에서 보는 바와 같이 FEM 10, FEM 6, FDM, FEM 3의 順序로 되어 있으며, FEM 61은 搖動이 생긴다.

Table 1. Mean relative error of heat transfer.

APPM MESH	FEM 10	FEM 6	FEM 3	FDM	FEM 101	FEM 61
1 × 1	1.845 (0.295)	4.945 (1.718)	14,973 (6.338)	3.597 (3.979)		
2 × 2	0.794 (0.186)	2.644 (0.429)	8.859 (4.168)	3.298 (3.339)		
3 × 3		1.956 (1.528)	6.266 (2.468)	2.779 (2.452)	4.947 (1.649)	
4 × 4			4.579 (1.346)	2.539 (2.067)		1.129 (0.661)
5 × 5				3.736 (0.843)	2.413 (1.820)	
6 × 6				2.596 (0.551)	2.411 (1.729)	1.620 (0.282)
						8.642 (4.636)

4-2-2. 計算勞苦

D. H. Norrie & G. Deveries⁽⁷⁾의 方法에 依한 半밴드 幅은 Table 2와 같다.

Table 2. Bandwidth for a mesh.

APPM MESH	FEM 10	FEM 6	FEM 3	FDM
1 × 1	15	6	2	2
2 × 2	21	10	3	3
3 × 3	27	14	4	4
4 × 4		18	5	5
5 × 5			6	6
6 × 6			7	7

Fig. 4-4는 n 을 次數($m + 1$)을 刚性 마트릭스의 半밴드幅이라 할 때 平均 相對誤差를 그린 것이다.

FEM 10이 어떤 方法보다도 計算機의 労苦가 큼을 알 수 있다.

計算 労苦는 FEM3, FDM, FEM6, FEM10의
順序로 된다. 즉 次数가 크면 労苦가 크다는 것

을 알 수 있으며, FEM10과 FEM 6는 FEM 3
보다 約 112, 16倍 정도의 힘이 든다.

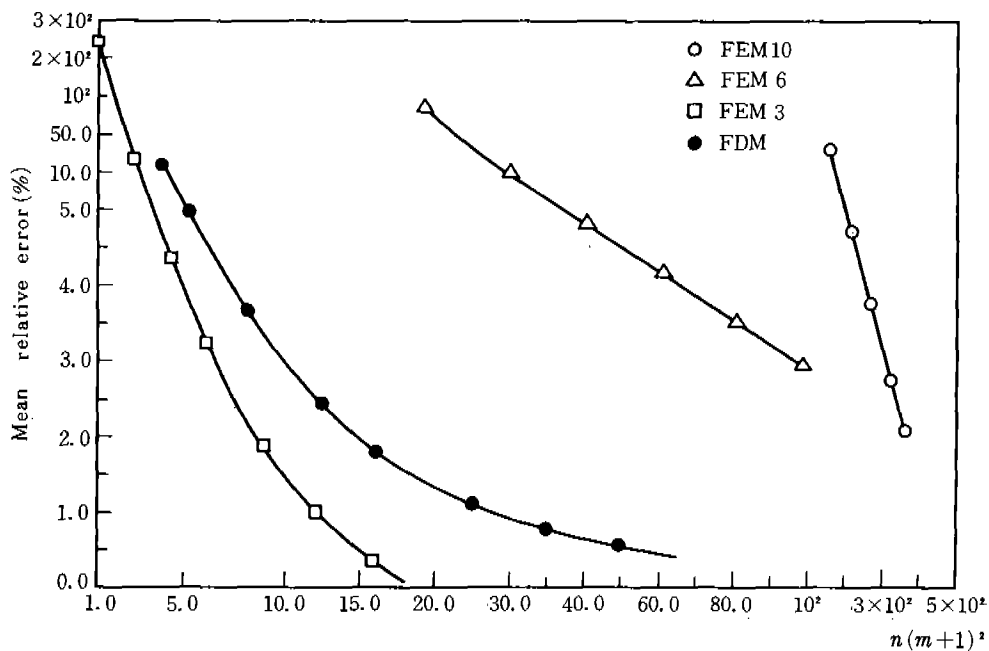


Fig. 4 - 4. Computational effort (n : order, $m+1$: half bandwidth)

V. 結論

- 相对誤差 1%以内의 温度分布를 求하기 위한 FEM10, FDM, FEM6, FEM 3의 배수는 $2 \times 2, 3 \times 3, 4 \times 4, 5 \times 5$ 이다.
- Biot 数가 10以下에서의 热傳達은 FEM 10, FEM6, FDM, FEM 3의 順이고, 10以上에서는 FDM이 FEM 6 보다 優秀하며, 2%以内의 相对誤差를 求하기 위한 FEM10, FEM6, FDM, FEM 3의 배수는 각각 $2 \times 2, 4 \times 4, 7 \times 7, 7 \times 7$ 以上이어야 한다.
- 計算機 労苦는 FEM10, FEM 6이 FEM 3 보다 約 112, 6倍 정도이다.

參 考 文 獻

- K. K. Gupta, "Development of a Finite Dy-

namic Element for Free Vibration Analysis of Two-Dimensional Structures," Int J for Num Meth in Eng. Vol. 12, pp. 1311-1327, 1978.

2. K. K. Gupta, "Finite Dynamic Element Formulation for a Plane Triangular Element," Int J for Num Meth in Eng. Vol. 14, pp. 1431-1448, 1979.

3. A. F. Emery & W. W. Carson, "An Evaluation of the Use of the Finite Element Method in the Computation of Temperature," J of Heat Tran. pp. 136~145, May 1971.

4. T. Shuku & K. Ishihara, "The Analysis of the Acoustic Field in Irregularly Shaped Rooms by the Finite Element Method," J of Sound and Vibrat. Vol 29(1), pp. 67-76, 1973.

5. D. G. Harrison & Y. K. Cheung, "A Higher-Order Triangular Finite Element for the Solution of Field Problem in Orthotropic Media," *Int J for Num Meth in Eng.* Vol. 7, pp. 287-295, 1973.
6. U. Salaaan & R. S. Sandhu, "A Finite Element Galerkin Formulation and its Numerical Performance," *Int J for Num Meth in Eng.* Vol. 10, pp. 1077-1095, 1976.
7. D. H. Norrie & G. Devries, *An Introduction to Finite Element Analysis*, Academic Press, pp. 138-143, 1978.
8. G. E. Myers, *Analytical Methods in Conduction Heat Transfer*, McGraw-Hill, pp. 362-388, 1971.
9. L. J. Segerlind, *Applied Finite Element Analysis*, John Wiley & Son, pp. 71-77, 1976.
10. C. A. Brebbia & S. Walker, *Boundary Element Techniques in Engineering*, Newnes - Butterworths, pp. 54-79, 1980.